

## ТРАЕКТОРИИ ПОВЕРХНОСТНЫХ МАГНИТОСТАТИЧЕСКИХ ВОЛН В НЕОДНОРОДНО НАМАГНИЧЕННЫХ ФЕРРИТОВЫХ ПЛЕНКАХ

А.В. В а ш к о в с к и й, В.И. З у б к о в,  
Э.Г. Л о к к, В.И. Ш е г л о в

В настоящее время актуально исследование возможностей создания систем аналоговой обработки информации в СВЧ-диапазоне на магнитостатических волнах (МСВ), распространяющихся в ферритовых пленках (ФП). Функциональные возможности таких систем уникально широки благодаря разнообразию и изменяемости дисперсионных свойств, что позволяет эффективно управлять характеристиками устройств на МСВ [1]. Среди способов управления характеристикаами устройств на МСВ (резонаторов, линий задержки и др. [1, 2]) весьма перспективным, но слабо изученным, является создание неоднородности постоянного магнитного поля  $H_c$  (далее - поля  $H_c$ ) на пути распространения МСВ. Теоретически изучены лишь траектории объемной МСВ с заданной частотой в поле  $H_c$  типа "вала" [3]. Предлагаемая работа посвящена исследованию траекторий поверхности МСВ (ПМСВ) различных частот при различных формах неоднородности поля  $H_c$ .

Рассмотрим распространение ПМСВ в поле  $\vec{H}_c = \vec{H}_o + \vec{H}_n$ , где  $\vec{H}_o$  - однородное поле, а  $\vec{H}_n$  - неоднородная добавка к нему. Пусть  $H_n \ll H_o$  и медленно меняется на расстоянии порядка длины ПМСВ. Тогда, по аналогии с [3], можно показать, что достаточен учет лишь составляющей поля  $H_n$  вдоль поля  $H_o$ . Предположим, что плоскость  $yOz$  совпадает с поверхностью ФП, и по ней распространяется ПМСВ с частотой  $\omega$  и волновым вектором  $k$ . Угол между вектором  $k$  и осью  $Oy$  равен  $\varphi$ , а угол между направлением групповой скорости  $\vec{s}$  и осью  $Oy$  -  $\psi$  (см. вставку на рис. 1). Поле  $H_z$  направлено вдоль оси  $Oz$  и задано в виде:

$$H_z = (\Omega_H + \alpha z + cz^2) \cdot 4\pi M_o, \quad (1)$$

где  $\Omega_H = \frac{H_o}{4\pi M_o}$ ,  $4\pi M_o$  - намагниченность насыщения ФП.

Дисперсионное уравнение для ПМСВ получаем аналогично [4, 5] в виде

$$k = \frac{1}{2\alpha d} \ln \frac{\beta + 2\alpha \mu}{\beta - 2\alpha \mu}, \quad (2)$$

где

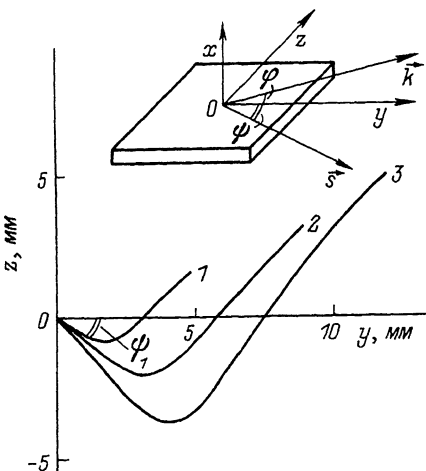


Рис. 1.

$$\alpha = \sqrt{\cos^2 \varphi + \frac{\sin^2 \varphi}{\mu}}; \quad \beta = (\gamma^2 - \mu^2) \cos^2 \varphi - \mu \sin^2 \varphi - 1;$$

$$\mu = 1 + \frac{\Omega_{H_z}}{\Omega_{H_z}^2 - \Omega^2}; \quad \gamma = \frac{\Omega}{\Omega_{H_z}^2 - \Omega^2}, \quad \Omega = \frac{\omega}{4\pi|\gamma|M_0}; \quad \Omega_{H_z} = \frac{H_z}{4\pi M_0};$$

$d$  - толщина ФП,  $\gamma$  - гиromагнитное соотношение для электрона.

Задача о распространении ПМСВ в ФП, помещенной в поле  $H_c$ , сводится к построению траекторий движения волнового пакета, совпадающих в каждой точке поверхности ФП с направлением переноса энергии, т.е. с направлением групповой скорости  $\vec{s}$ . Нахождение траекторий по методу Гамильтона-Якоби производится, согласно [5, 6], из решения системы трех дифференциальных уравнений первого порядка:

$$\begin{aligned} \frac{dz}{dy} &= \frac{k \cdot \sin \varphi - \frac{\partial k}{\partial \varphi} \cdot \cos \varphi}{k \cdot \cos \varphi + \frac{\partial k}{\partial \varphi} \cdot \sin \varphi}, \\ \frac{dk}{dy} &= -k \cdot \frac{\frac{\partial k}{\partial y} \cdot \cos \varphi + \frac{\partial k}{\partial z} \cdot \sin \varphi}{k \cdot \cos \varphi + \frac{\partial k}{\partial \varphi} \cdot \sin \varphi}, \\ \frac{d\varphi}{dy} &= \frac{\frac{\partial k}{\partial y} \cdot \sin \varphi - \frac{\partial k}{\partial z} \cdot \cos \varphi}{k \cdot \cos \varphi + \frac{\partial k}{\partial \varphi} \cdot \sin \varphi}, \end{aligned} \quad (3)$$

где частные производные  $\frac{\partial k}{\partial \varphi}, \frac{\partial k}{\partial y}, \frac{\partial k}{\partial z}$  вычисляются из соотношения (2).

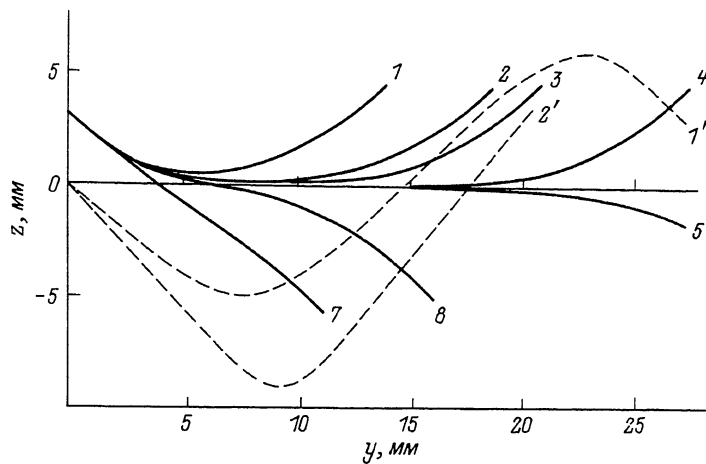


Рис. 2.

Решение системы (3) проводилось на ЭВМ по методу Эйлера при  $\Omega_H = 0.52$ . На рис. 1 показаны траектории ПМСВ трех различных частот  $\Omega$  (кривые: 1 - 0.90, 2 - 0.92, 3 - 0.94), выходящие из начала координат с  $\varphi = 30^\circ$  в поле, описываемом выражением (1), где  $\alpha = 0.01 \text{ мм}^{-1}$ ,  $c = 0$ . Видно, что траектории ПМСВ расходятся и отклоняются в сторону больших значений поля  $H_c$  тем сильнее, чем ниже частота ПМСВ. Их ход свидетельствует о сильной пространственно-угловой дисперсии ПМСВ различных частот, в несколько раз превышающей дисперсию ПМСВ в однородном поле  $H_0$ .

На рис. 2 показаны траектории ПМСВ в "квадратичном" поле  $H_c$ , описываемом выражением (1), где  $\alpha = 0$ ,  $|c| = 0.001 \text{ мм}^{-2}$ . Сплошные кривые соответствуют случаю  $c > 0$  (поле в виде "канавы"), штриховые -  $c < 0$  (поле в виде "вала"). Сплошные кривые описывают траектории ПМСВ различных частот  $\Omega$  (кривые: 1 -  $\Omega = 0.92$ , 2 - 0.921, 3 - 0.9211, 4 - 0.92119, 5 - 0.9212, 6 - 0.922, 7 - 0.93), выходящие из точки с координатами  $y = 0$ ,  $z = 3 \text{ мм}$  и с  $\varphi = 30^\circ$ . Штриховые кривые описывают траектории ПМСВ с частотой  $\Omega = 0.94$  с различными углами  $\varphi$  (кривые 1' -  $\varphi = 20^\circ$ , 2' -  $30^\circ$ ). Из рис. 2 видно, что при распространении ПМСВ в поле типа "канавы" ПМСВ низких частот отражаются от дна "канавы", ПМСВ высоких частот проходят с небольшим преломлением, а ПМСВ средних частот распространяются вдоль дна "канавы". После прохождения через дно "канавы" ПМСВ отклоняются в сторону больших значений поля  $H_c$  аналогично предыдущему случаю. По мере удаления от начала координат частотный интервал ПМСВ  $\Delta\Omega$ , распространяющихся вдоль дна "канавы", сужается: при  $y = 7 \text{ мм}$   $\Delta\Omega \approx 0.01$  (см. траектории 1 и 7), при  $y = 12 \text{ мм}$   $\Delta\Omega \approx 0.001$ .

(см. траектории 2 и 6), при  $y=25$  мм  $\Delta\Omega \approx 0.00001$  (см. траектории 4 и 5).

Из рис. 2 видно, что при распространении ПМСВ заданной частоты, но с различными  $\varphi$  в поле типа „вала“ обе траектории, периодически осциллируя в пространстве, распространяются вдоль вершины „вала“ ( $z=0$ ), причем с увеличением угла  $\varphi$  период осцилляций увеличивается. Исследование траекторий ПМСВ различных частот показывает, что с увеличением частоты период осцилляций также увеличивается. Осцилляции траекторий ПМСВ обусловлены выявленным выше их отклонением в сторону больших значений  $H_c$ . Вдоль вершины „вала“ распространяются ПМСВ любой частоты, но только при  $\varphi=0^\circ$ .

Таким образом, рассмотрены траектории ПМСВ в неоднородных полях  $H_c$  типа „линейного“, „канавы“ и „вала“, которые позволяют судить о траекториях ПМСВ в реальном неоднородном поле. Выяснено, что траектории ПМСВ любой частоты при любой неоднородности поля отклоняются в сторону больших значений поля  $H_c$ , при этом отклонение тем значительней, чем меньше частота ПМСВ. Выявленные свойства траекторий ПМСВ необходимо учитывать при создании устройств на МСВ.

#### С п и с о к л и т е р а т у р ы

- [1] Вапнег Г.М. СВЧ-устройства на магнитостатических волнах. – Обзоры по электронной технике, серия 1, Электроника СВЧ, 1984, № 8 (1060).
- [2] Зубков В.И., Шеглов В.И. // Радиотехника и электроника. 1972. Т. 17. № 12. С. 2590–2591.
- [3] Бурлак Г.Н. // Письма в ЖТФ. 1986. Т. 12. № 24. С. 1476–1480.
- [4] Damon R.W., Eshbach J.R. // J. Phys. Chem. Sol. 1961. V. 19. N 3/4. P. 308–320.
- [5] Беспятых Ю.И., Зубков В.И., Тарасенко В.В. // ЖТФ. 1980. Т. 50. № 1. С. 140–146.

Институт радиотехники  
и электроники  
АН СССР

Поступило в Редакцию  
22 ноября 1988 г.